



POLITECHNIKA WARSZAWSKA
Wydział Elektroniki i Technik Informacyjnych
Instytut Informatyki

Rok akademicki 2013/2014

PRACA DYPLOMOWA MAGISTERSKA

Jakub Turek

[TYTUŁ]

Praca wykonana pod kierunkiem
dra inż. Jakuba Koperwasa

Ocena:

.....

*Podpis Przewodniczącego Komisji
Egzaminu Dyplomowego*

Kierunek: Informatyka
Specjalność: Inżynieria Systemów Informatycznych
Data urodzenia: 1990.01.09
Data rozpoczęcia studiów: 2013.02.20

Życiorys

Urodziłem się 9 stycznia 1990 roku w Łodzi. W 1997 roku rozpocząłem edukację w Szkole Podstawowej nr 7 w Łodzi. W latach 2003-2006 kontynuowałem naukę w Gimnazjum nr 42 im. Władysława Stanisława Reymonta w Łodzi. Od 2006 roku uczyłem się w Liceum Ogólnokształcącym nr 31 im. Ludwika Zamenhofs w Łodzi. W 2009 roku zdałem egzaminy maturalne i ukończyłem szkołę licealną z wyróżnieniem. W latach 2009-2013 studiowałem dziennie informatykę na Wydziale Elektroniki i Technik Informatycznych Politechniki Warszawskiej. Ukończyłem studia z wynikiem celującym i odebrałem tytuł zawodowy inżyniera. Obecnie kończę Pracę Dyplomową Magisterską pod kierownictwem Instytutu Informatyki. We wrześniu 2012 roku rozpocząłem pracę zawodową jako programista aplikacji do zarządzania procesami biznesowymi oraz aplikacji mobilnych w firmie Xentivo, gdzie pracuję do dziś. Moją pasją jest tworzenie aplikacji mobilnych oraz internetowych, które uruchamiane są w środowisku iOS.

.....

Podpis studenta

Egzamin dyplomowy:

Złożył egzamin dyplomowy w dniu:

z wynikiem:

Ogólny wynik studiów:

Dodatkowe uwagi i wnioski Komisji:

.....

Streszczenie

Celem Pracy Dyplomowej jest stworzenie interfejsu programowania aplikacji umożliwiającego efektywne rozwiązywanie problemów w modelowaniu dziedziny danych opartych o bazę danych Apache Cassandra.

Client-server Augmented Reality applications framework for Android system

Summary

The goal of this thesis is to create a framework supporting the development of multiuser applications for Android system. The framework should consist of a client-server bus, as well as several Augmented Reality components. An additional goal is to explore the possibility of adapting commonly used programming practises dedicated to large projects during Android applications development. All the goals have been fully accomplished - the output is the implementation of the client-server bus as well as AR components allowing to track the device's geographic coordinates and to render a stable three-dimensional graphics on the display of the device. In order to demonstrate the features of the framework, a sample multiplayer game has been created. The thesis includes a description of the created components' design process, as well as their functionality and structure.

Spis treści

| | | |
|----------|--|----------|
| 1 | Wstęp | 4 |
| 2 | Apache Cassandra | 5 |
| 2.1 | Model danych | 6 |
| 2.2 | Dystrybucja danych | 6 |
| 2.3 | Konsekwencje dla modelowania dziedziny | 7 |

Rozdział 1

Wstęp

Tu będzie wstęp

Rozdział 2

Apache Cassandra

Apache Cassandra jest bazą danych NoSQL¹, która powstała w wyniku połączenia rozwiązań wykorzystywanych w Dynamo² oraz BigTable³. Cassandra początkowo była rozwijana dla potrzeb portalu społecznościowego Facebook. Baza danych powstała z myślą o rozwiązaniu problemu pełnotekstowego przeszukiwania skrzynek odbiorczych użytkowników, w których dziennie zapisywane były miliardy wiadomości. Głównym celem, do których dążyli twórcy Cassandra była możliwość wykorzystania jej do przechowywania ogromnych ilości danych w bardzo rozproszonym środowisku, gdzie awarie pojedynczych węzłów zdarzają się na porządku dziennym. W tych warunkach baza danych musi zapewniać szybki i niezawodny dostęp do danych. [2]

Apache Cassandra wykorzystywana jest w wielu serwisach na całym świecie. Najbardziej znaczące przykłady użycia produkcyjnego to eBay⁴, Instagram⁵ oraz GitHub⁶. Największa światowa instalacja Cassandra obejmuje około 15000 węzłów, na których przechowywane jest łącznie ponad 4 petabajty danych. [3]

W przeciwieństwie do relacyjnych baz danych, Apache Cassandra nie zapewnia wsparcia dla reguły ACID⁷. Zamiast tego zostały zrealizowane postulaty twierdzenia CAP: „we współdzielonym systemie plików można zachować maksymalnie dwie z trzech właściwości: spójności, dostępności oraz podatności na partycjonowanie”. [4] Apache Cassandra priorytetyzuje właściwości dostępności oraz partycjonowania. Spójność danych jest odwrotnie proporcjonalna i może być regulowana w zależności od czasu odpowiedzi. Wysoka spójność danych oznacza wolniejszą odpowiedź bazy.

¹NoSQL (ang. Not Only SQL) - podzbiór baz danych, które zapewniają inne sposoby modelowania dziedziny niż tradycyjny model oparty na tabelach i relacjach.

²Amazon DynamoDB - zdecentralizowana, wysoce skalowalna baza danych typu klucz-wartość.

³Google BigTable - rozproszony system bazodanowy, który dobrze skaluje się dla ogromnych ilości danych.

⁴eBay - największy portal z aukcjami internetowymi na świecie

⁵Instagram - portal pozwalający na umieszczanie fotografii.

⁶GitHub - usługa pozwalająca na przechowywanie i wersjonowanie kodu źródłowego aplikacji.

⁷ACID (ang. Atomic, Consistency, Isolation, Durability) - zasada atomowości, spójności, izolacji i trwałości, które gwarantują poprawne przetwarzanie transakcji w bazach danych.

2.1 Model danych

Model danych Apache Cassandra jest analogiczny do BigTable. [1] Można przedstawić go jako dwuwymiarową mapę trójek wartości:

$$\text{Map}\langle \text{RowKey}, \text{Map}\langle \text{ColumnKey}, \text{Triple}\langle \text{Value}, \text{Timestamp}, \text{TTL}\rangle\rangle\rangle$$

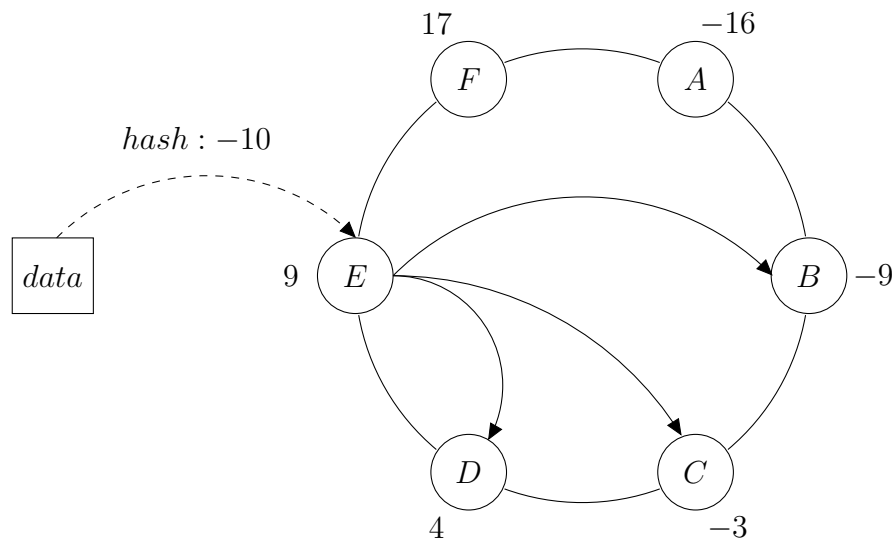
gdzie **RowKey** to identyfikator wiersza, **ColumnKey** to identyfikator kolumny, **Value** to wartość komórki, **Timestamp** to czas aktualizacji komórki, a **TTL** to czas życia danej wartości. [5] Na rysunku 2.1 przedstawiona jest schematyczna ilustracja wiersza danych. Pogrubiona wartość w lewej komórce to klucz wiersza, natomiast wyróżnione wartości w pierwszym wierszu oznaczają klucze poszczególnych kolumn. Każda komórka składa się z trzech wartości: wartości, czasu życia oraz „odcisku czasu”.

| | ABC | DEF | ... | XYZ |
|------------|------------------|--------------------|-----|------------------|
| 123 | test value | another test value | ... | not a test value |
| 456 | 20 | ∞ | ... | ∞ |
| | 1291987837942000 | 1291980736812000 | ... | 1291980736212000 |

Rysunek 2.1: Przykładowy wiersz modelu danych o identyfikatorze 123456. Wartość komórki (123456, DEF) to „another test value”.

2.2 Dystrybucja danych

Do dystrybucji danych wykorzystywana jest funkcja skrótu, która zachowuje kolejność elementów. Węzły są przedstawiane na w topologii pierścienia. Algorytm dystrybucji zostanie omówiony na przykładzie ze schematu 2.2:



Rysunek 2.2: Schematyczna ilustracja dystrybucji danych w bazie danych Apache Cassandra.

1. Każdemu z węzłów $\{A, B, C, D, E, F\}$ przypisywany jest token, który zawiera się w zakresie wartości przyjmowanych przez funkcję skrótu. Strategię wyboru tokenu można konfigurować. Przykładową strategią jest wybór losowy. W omawianym przykładzie węzłom zostały przypisane tokeny o wartościach $\{-16, -9, -3, 4, 9, 17\}$.
2. Użytkownik bazy danych przesyła żądanie do dowolnego węzła, który pełni funkcję koordynatora dla danej operacji. Koordynator nadzoruje wpisanie danych do odpowiednich węzłów. W omawianym przykładzie rolę koordynatora pełni węzeł E .
3. Każdy węzeł przechowuje dane, których funkcja skrótu zawiera się w przedziale $(token_{n-1}, token_n]$, gdzie n to numer kolejny węzła rosnący zgodnie z ruchem wskazówek zegara. W przykładzie węzeł C przechowuje wiersze o wartościach funkcji skrótu z przedziału $(-9, -3]$, natomiast węzeł D z przedziału $(-3, 4]$. Wartości funkcji obliczane są cyklicznie, stąd węzeł A przechowuje wiersze o skrócie z przedziału $(-\infty, -16] \cup (17, \infty)$. W przykładzie wiersz o kluczu z funkcją skrótu wartości -10 zostanie utrwalony na węźle B .
4. Dane replikowane są na n węzłach, gdzie n to wartość konfigurowalnego współczynnika replikacji. Poza węzłem macierzystym (wyznaczanym w punkcie 3 algorytmu) dane są replikowane na $n - 1$ kolejnych (zgodnie z ruchem wskazówek zegara) węzłach. W omawianym przykładzie dane zostaną zreplikowane na węzłach C i D .

2.3 Konsekwencje dla modelowania dziedziny

Wewnętrzna struktura i mechanizm dystrybucji danych wykorzystywany w Apache Cassandra zmienia podejście do modelowania dziedziny znane z relacyjnych baz danych. Zbudowanie efektywnego modelu danych Cassandra wymaga skupienia się w podobnym stopniu na zdefiniowaniu encji z modelowanego świata, jak również na analizie odwołań, które będą wykonywane do obiektów z tego świata. [6]

Założmy, że celem jest modelowanie danych dla sklepu internetowego. Zakupów dokonują użytkownicy, którzy mogą wstawić wiele przedmiotów z oferty sklepu na listę życzeń. W przypadku baz opartych o język SQL jest to klasyczny problem relacji typu wiele-do-wielu, do modelowania których wykorzystywana jest najczęściej tabela pośrednia.



Rysunek 2.3: Modelowanie listy życzeń w relacyjnej bazie danych.

Diagram prezentujący zamodelowaną relację dla listy życzeń jest przedstawiony na rysunku 2.3. W tabeli Użytkownik (*User*) przechowywane są imię, nazwisko oraz identyfikator. W tabeli Przedmiot (*Item*) znajduje się nazwa, cena, a także inne właściwości: opis, kategoria oraz waga. Tabela Lista życzeń (*Wishlist*) łączy ze sobą użytkownika i przedmiot poprzez wykorzystanie kluczy obcych.

Powyższy model jest wykorzystywany w widoku listy życzeń na profilu użytkownika. Na liście życzeń prezentowane są informacje o nazwie przedmiotu oraz jego cenie. Po kliknięciu nazwy użytkownik przenoszony jest do strony przedmiotu. Na listingu 2.4 zaprezentowano zapytanie, które wyświetla listę życzeń.

```
SELECT item.name, item.price
FROM Item item, Wishlist wishlist
WHERE wishlist.userId = 202;
```

Rysunek 2.4: Zapytanie, które pobiera wszystkie przedmioty na liście życzeń użytkownika o identyfikatorze 202.

Cassandra umożliwia utworzenie dokładnej repliki relacyjnego modelu danych. Zostało to przedstawione na rysunku 2.5.

| | | | | | | | |
|------|------------|-------------|----------------|----------|-----------|---------------|---------------|
| User | | name | surname | Wishlist | | userId | itemId |
| | 123 | Janusz | Kowalski | | 51 | 123 | 579 |
| | | name | surname | | | userId | itemId |
| | 124 | Marcin | Nowak | | 52 | 124 | 232 |

| | | | | | | |
|------|------------|-------------|--------------|-----------------|-----------------|---------------|
| Item | | name | price | desc | category | weight |
| | 232 | Master Chef | 20.34 | Cooking recipes | BOOKS | 0.2 |
| | | name | price | desc | category | weight |
| | 579 | Seat Hit | 159.99 | Wooden armchair | FURNITURE | 10.8 |

Rysunek 2.5: Wynik błędnego przeniesienia relacyjnego modelu danych do Cassandra.

Taki model jest jednak niepoprawny. Nie umożliwia on filtrowania zawartości listy życzeń po identyfikatorze użytkownika. Wynika to z faktu, że pobranie odpowiednich wierszy listy życzeń wymaga znajomości ich identyfikatorów, podczas gdy widok dysponuje wyłącznie odniesieniem do użytkownika. Błąd ten można łatwo naprawić zastępując encję *Wishlist* encją *WishlistByUser*, co przedstawia diagram 2.6.

| | | |
|----------------|------------|------------|
| WishlistByUser | | 579 |
| | 123 | - |
| | | 232 |
| | 124 | - |

Rysunek 2.6: Definicja encji listy życzeń umożliwiająca filtrowanie względem użytkownika.

Poprawiony model można poddać dalszej optymalizacji. Wyświetlenie listy życzeń użytkownika wymaga odwołania do encji *Item*, w której znajdują się informacje o nazwie i cenie przedmiotu. Ponieważ przedmioty mogą być rozmieszczone na różnych węzłach, silnik Cassandra nie może wykonać złączenia w sposób optymalny - zapytanie o każdą pozycję listy życzeń jest wykonywane osobno. W celu przyspieszenia wykonywania operacji należy wykonać denormalizację. Dołączając do encji *WishlistByUser* informacje o nazwie i cenie produktu można uniknąć wykonywania kosztownych złączeń. Pozostałe dane przedmiotu zostaną pobrane dopiero po przejściu na jego stronę. Efekt denormalizacji jest przedstawiony na diagramie 2.7.

| | | |
|----------------|------------|------------------------|
| WishlistByUser | 123 | 579 |
| | | („Master Chef”, 20.43) |
| | 124 | 232 |
| | | („Seat Hit”, 159.99) |

Rysunek 2.7: Zdenormalizowana postać listy życzeń.

Bibliografia

- [1] <http://static.googleusercontent.com/media/research.google.com/pl//archive/bigtable-osdi06.pdf>
- [2] <http://www.datastax.com/documentation/articles/cassandra/cassandrathenandnow.html>
- [3] <http://cassandra.apache.org>
- [4] Towards Robust Distributed Systems, Dr. Eric A. Brewer, PODC Keynote
- [5] The data model is dead, long live the data model, Patrick McFadin
- [6] <http://www.ebaytechblog.com/2012/07/16/cassandra-data-modeling-best-practices-part-1/>

OŚWIADCZENIE

Oświadczam, że Pracę Dyplomową pod tytułem “[TYTUŁ]”, którą kierował dr inż. Jakub Koperwas, wykonałem samodzielnie, co poświadczam własnoręcznym podpisem.

.....

Jakub Turek